

# Homogénéisation asymptotique à 3 échelles d'une méta-surface/méta-interface acoustique composée de résonateurs de Helmholtz 3D

Sarah TACHET, Kim PHAM, Agnes MAUREL

Juin 2024

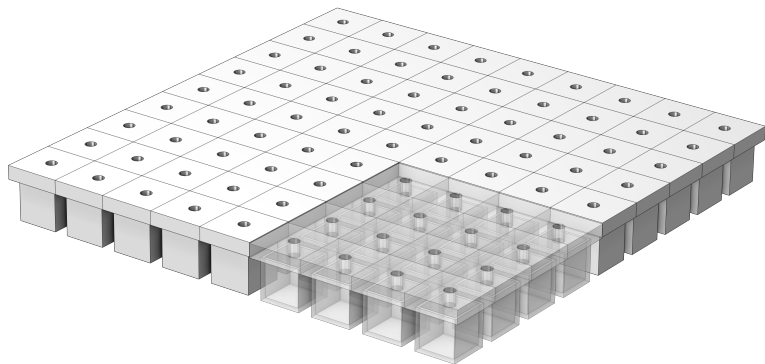


INSTITUT  
POLYTECHNIQUE  
DE PARIS

1. Problème étudié
2. Approche asymptotique
3. Problème effectif obtenu
4. Validation du modèle : régime harmonique
5. Extension de la méta-surface à la méta-interface
6. Perspectives

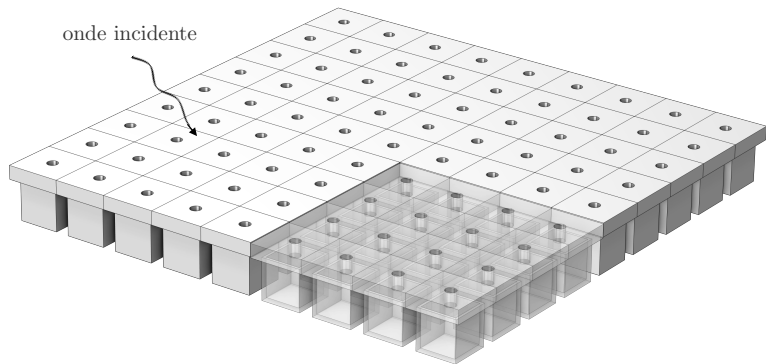
1. **Problème étudié**
2. Approche asymptotique
3. Problème effectif obtenu
4. Validation du modèle : régime harmonique
5. Extension de la méta-surface à la méta-interface
6. Perspectives

# I. Problème étudié



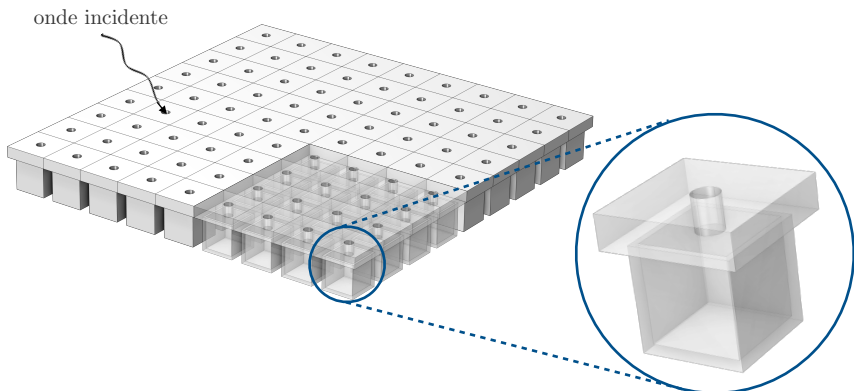
Réseau périodique de résonateurs de Helmholtz 3D  
formant une métasurface réfléchive

# I. Problème étudié



Réseau périodique de résonateurs de Helmholtz 3D  
formant une métasurface réfléchive

# I. Problème étudié



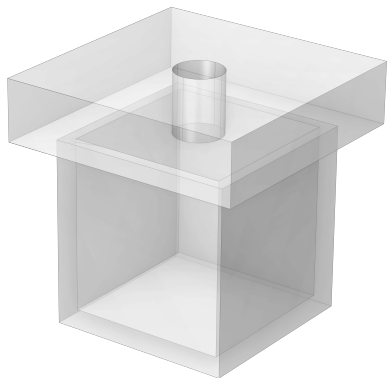
Réseau périodique de résonateurs de Helmholtz 3D  
formant une métasurface réfléchive

# I. Problème étudié

Equations d'Euler linéarisées

$$\begin{cases} \operatorname{div} \mathbf{u} + \frac{1}{\rho c^2} \frac{\partial p}{\partial t} = 0, \\ \rho \frac{\partial \mathbf{u}}{\partial t} = -\nabla p, \end{cases}$$

$$\mathbf{u} \cdot \mathbf{n} = 0, \text{ parois rigides}$$

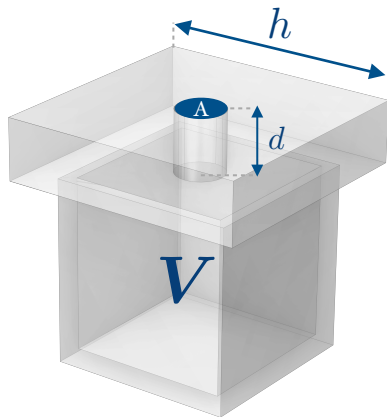


1. Problème étudié
2. **Approche asymptotique**
3. Problème effectif obtenu
4. Validation du modèle : régime harmonique
5. Extension de la méta-surface à la méta-interface
6. Perspectives



## 2. Approche asymptotique

Régime sub-longueur d'onde  $\eta = \frac{\omega}{c}h \sim \frac{h}{\lambda} \ll 1$

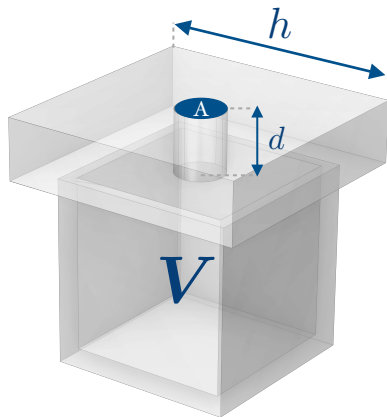


## 2. Approche asymptotique

Régime sub-longueur d'onde  $\eta = \frac{\omega}{c}h \sim \frac{h}{\lambda} \ll 1$

+ Régime résonant

$$\omega_H = c\sqrt{\frac{A}{dV}} \sim O(\omega)$$



## 2. Approche asymptotique

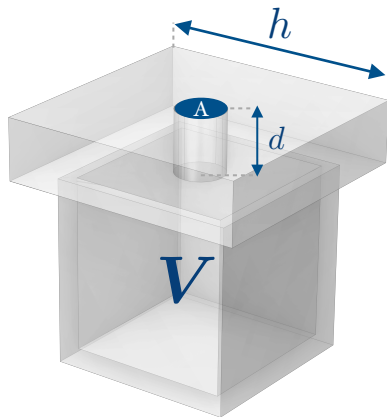
Régime sub-longueur d'onde  $\eta = \frac{\omega}{c}h \sim \frac{h}{\lambda} \ll 1$

+ Régime résonant

$$\omega_H = c\sqrt{\frac{A}{dV}} \sim O(\omega)$$

$\omega_H$  va aussi vite vers 0 que  $\omega$  si

$$\frac{\omega_H h}{c} = \sqrt{\frac{A}{dV}}h \sim O(\eta)$$



## 2. Approche asymptotique

Régime sub-longueur d'onde  $\eta = \frac{\omega}{c}h \sim \frac{h}{\lambda} \ll 1$

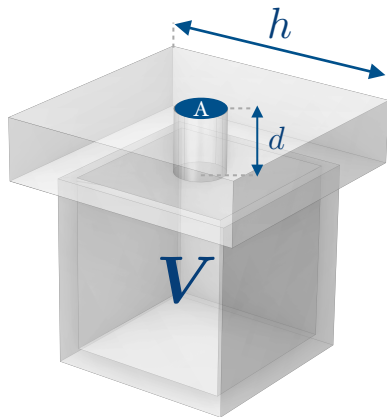
+ Régime résonant

$$\omega_H = c\sqrt{\frac{A}{dV}} \sim O(\omega)$$

$\omega_H$  va aussi vite vers 0 que  $\omega$  si

$$\frac{\omega_H h}{c} = \sqrt{\frac{A}{dV}}h \sim O(\eta)$$

avec  $d, V^{1/3}, h \sim O(\eta)$ ,



## 2. Approche asymptotique

Régime sub-longueur d'onde  $\eta = \frac{\omega}{c}h \sim \frac{h}{\lambda} \ll 1$

+ Régime résonant

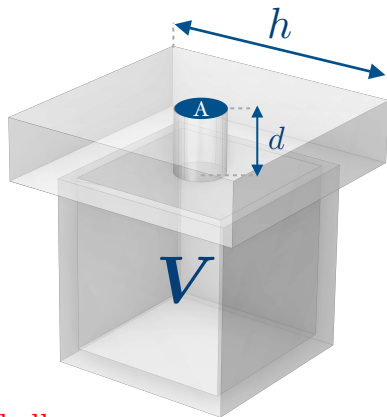
$$\omega_H = c\sqrt{\frac{A}{dV}} \sim O(\omega)$$

$\omega_H$  va aussi vite vers 0 que  $\omega$  si

$$\frac{\omega_H h}{c} = \sqrt{\frac{A}{dV}}h \sim O(\eta)$$

avec  $d, V^{1/3}, h \sim O(\eta)$ ,

on impose  $\sqrt{A} \sim O(\eta^2) \implies 3 \text{ échelles}$

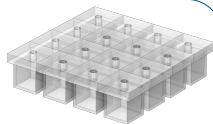


## 2. Approche asymptotique : les 3 échelles

### Echelle macro (échelle de la longueur d'onde)

On cherche la condition limite qui remplace la condition de mur rigide sans résonateur (col fermé)

(les autres échelles ont vocation à disparaître)

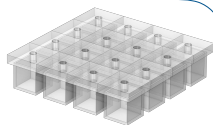


## 2. Approche asymptotique : les 3 échelles

### Echelle macro (échelle de la longueur d'onde)

On cherche la condition limite qui remplace la condition de mur rigide sans résonateur (col fermé)

(les autres échelles ont vocation à disparaître)

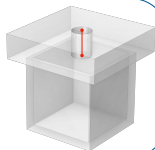


### Echelle meso (zoom en $1/\eta$ sur un résonateur)

2 régions déconnectées (intérieur et extérieur de la cavité)

la région du col a disparu (elle tend vers 0 plus vite que  $\eta$ )

Elle est réduite à un segment (le col) terminé par deux points (singuliers ?)

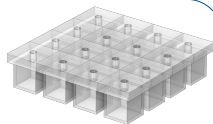


## 2. Approche asymptotique : les 3 échelles

### Echelle macro (échelle de la longueur d'onde)

On cherche la condition limite qui remplace la condition de mur rigide sans résonateur (col fermé)

(les autres échelles ont vocation à disparaître)

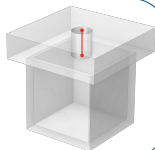


### Echelle meso (zoom en $1/\eta$ sur un résonateur)

2 régions déconnectées (intérieur et extérieur de la cavité)

la région du col a disparu (elle tend vers 0 plus vite que  $\eta$ )

Elle est réduite à un segment (le col) terminé par deux points (singuliers ?)



Pour restaurer la communication entre les deux régions, on zoome davantage (en  $1/\eta^2$ )

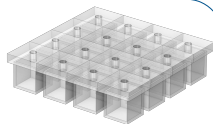


## 2. Approche asymptotique : les 3 échelles

### Echelle macro (échelle de la longueur d'onde)

On cherche la condition limite qui remplace la condition de mur rigide sans résonateur (col fermé)

(les autres échelles ont vocation à disparaître)

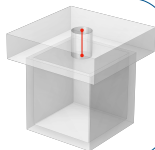


### Echelle meso (zoom en $1/\eta$ sur un résonateur)

2 régions déconnectées (intérieur et extérieur de la cavité)

la région du col a disparu (elle tend vers 0 plus vite que  $\eta$ )

Elle est réduite à un segment (le col) terminé par deux points (singuliers ?)



Pour restaurer la communication entre les deux régions, on zoome davantage (en  $1/\eta^2$ )

### Echelle micro (zoom en $1/\eta^2$ sur le col)

3 problèmes d'écoulements potentiels



entrée du col



le col



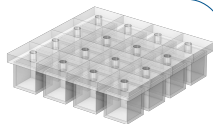
sortie du col

## 2. Approche asymptotique : les 3 échelles

### Echelle macro (échelle de la longueur d'onde)

On cherche la condition limite qui remplace la condition de mur rigide sans résonateur (col fermé)

(les autres échelles ont vocation à disparaître)

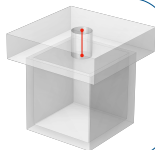


### Echelle meso (zoom en $1/\eta$ sur un résonateur)

2 régions déconnectées (intérieur et extérieur de la cavité)

la région du col a disparu (elle tend vers 0 plus vite que  $\eta$ )

Elle est réduite à un segment (le col) terminé par deux points (singuliers ?)



Pour restaurer la communication entre les deux régions, on zoome davantage (en  $1/\eta^2$ )

### Echelle micro (zoom en $1/\eta^2$ sur le col)

3 problèmes d'écoulements potentiels



entrée du col



le col

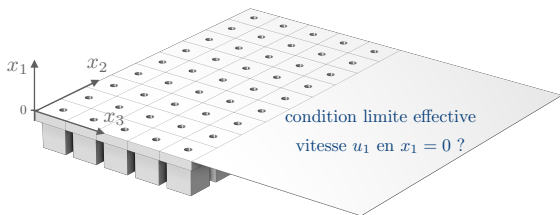


sortie du col

Les 3 échelles communiquent via des raccordements asymptotiques

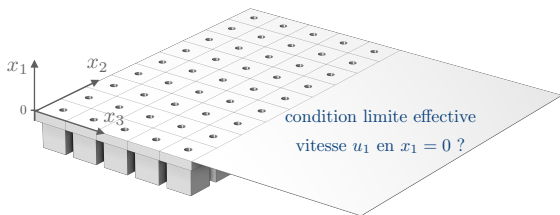
1. Problème étudié
2. Approche asymptotique
- 3. Problème effectif obtenu**
4. Validation du modèle : régime harmonique
5. Extension de la méta-surface à la méta-interface
6. Perspectives

### 3. Problème effectif obtenu : de l'ordre 0 à l'ordre 2



$$\mathbf{x}' = (x_2, x_3)$$

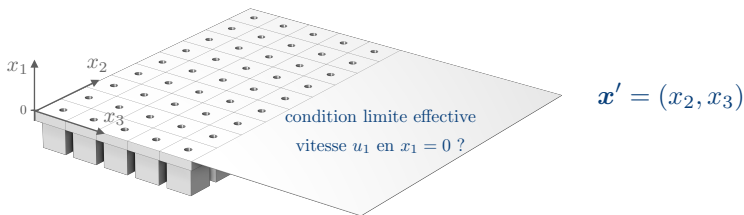
### 3. Problème effectif obtenu : de l'ordre 0 à l'ordre 2



A l'ordre 0

$$u_1(0, \mathbf{x}', t) = 0 \quad (\text{ce qui est le cas en dehors de la résonance})$$

### 3. Problème effectif obtenu : de l'ordre 0 à l'ordre 2



A l'ordre 0

$$u_1(0, \mathbf{x}', t) = 0 \quad (\text{ce qui est le cas en dehors de la résonance})$$

Aux ordres  $n=1$  et  $2$

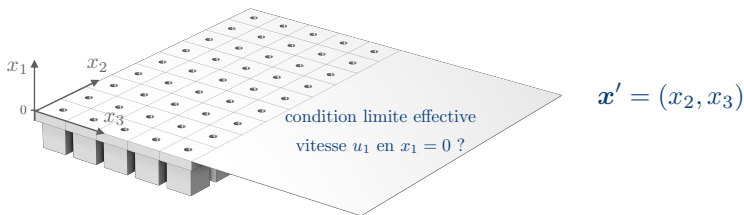
condition de Robin qui couple  $u_1$  à  $p_c$

$p_c$  solution de l'équation d'un résonateur (avec source  $p$  en  $x_1 = 0$ )

$$u_1(0, \mathbf{x}', t) = -\alpha \frac{\partial p_c}{\partial t}(\mathbf{x}', t), \quad \alpha = \frac{V}{\rho c^2 h^2}$$

$$\frac{\partial^2 p_c}{\partial t^2} + \omega_n^2 p_c = \omega_n^2 p(0, \mathbf{x}', t), \quad n = 1, 2$$

### 3. Problème effectif obtenu : de l'ordre 0 à l'ordre 2



A l'ordre 0

$$u_1(0, \mathbf{x}', t) = 0 \quad (\text{ce qui est le cas en dehors de la résonance})$$

Aux ordres  $n=1$  et  $2$

condition de Robin qui couple  $u_1$  à  $p_c$

$p_c$  solution de l'équation d'un résonateur (avec source  $p$  en  $x_1 = 0$ )

$$u_1(0, \mathbf{x}', t) = -\alpha \frac{\partial p_c}{\partial t}(\mathbf{x}', t), \quad \alpha = \frac{V}{\rho c^2 h^2}$$

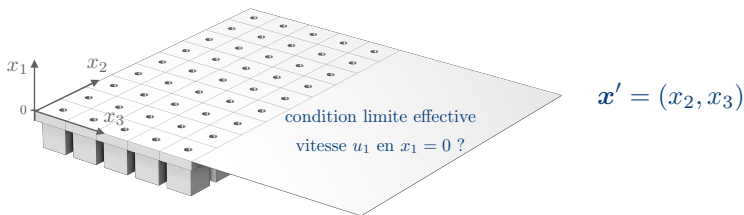
$$\frac{\partial^2 p_c}{\partial t^2} + \omega_n^2 p_c = \omega_n^2 p(0, \mathbf{x}', t), \quad n = 1, 2$$

$$\omega_n = c \sqrt{\frac{A}{d_n V}},$$

$$d_1 = d,$$

à l'ordre 1, une canette de soda ne résonne pas,

### 3. Problème effectif obtenu : de l'ordre 0 à l'ordre 2



A l'ordre 0

$$u_1(0, \mathbf{x}', t) = 0 \quad (\text{ce qui est le cas en dehors de la résonance})$$

Aux ordres  $n=1$  et  $2$

condition de Robin qui couple  $u_1$  à  $p_c$

$p_c$  solution de l'équation d'un résonateur (avec source  $p$  en  $x_1 = 0$ )

$$u_1(0, \mathbf{x}', t) = -\alpha \frac{\partial p_c}{\partial t}(\mathbf{x}', t), \quad \alpha = \frac{V}{\rho c^2 h^2}$$

$$\frac{\partial^2 p_c}{\partial t^2} + \omega_n^2 p_c = \omega_n^2 p(0, \mathbf{x}', t), \quad n = 1, 2$$

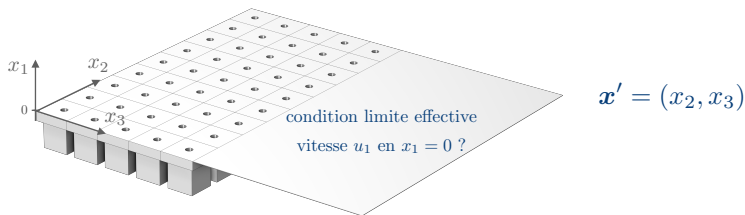
$$\omega_n = c \sqrt{\frac{A}{d_n V}},$$

$d_1 = d$ , à l'ordre 1, une canette de soda ne résonne pas,

$d_2 = d + d_{aj}$ , à l'ordre 2, on trouve la longueur ajoutée  $d_{aj}$ ,



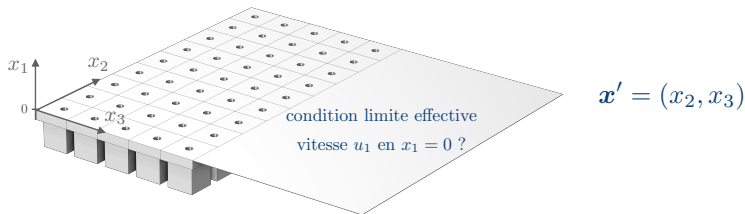
### 3. Problème effectif obtenu : à l'ordre 2



$$u_1(0, \mathbf{x}', t) = -\alpha \frac{\partial p_c}{\partial t}(\mathbf{x}', t), \quad \frac{\partial^2 p_c}{\partial t^2} + \omega_H^2 p_c = \omega_H^2 p(0, \mathbf{x}', t),$$

$$\alpha = \frac{V}{\rho c^2 h^2} \quad \omega_H = c \sqrt{\frac{A}{(d + d_{aj})V}},$$

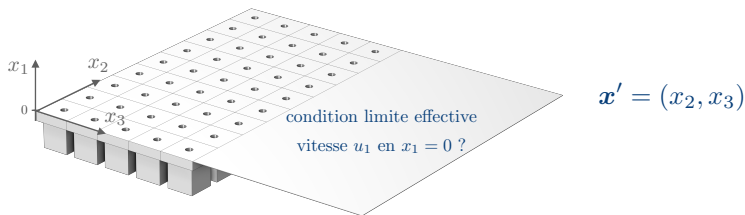
### 3. Problème effectif obtenu : à l'ordre 2



$$u_1(0, \mathbf{x}', t) = -\alpha \frac{\partial p_c}{\partial t}(\mathbf{x}', t), \quad \frac{\partial^2 p_c}{\partial t^2} + \omega_H^2 p_c = \omega_H^2 p(0, \mathbf{x}', t),$$

$$\alpha = \frac{V}{\rho c^2 h^2} \quad \omega_H = c \sqrt{\frac{A}{(d + d_{aj})V}}, \quad d_{aj} = 2\sqrt{AB},$$

### 3. Problème effectif obtenu : à l'ordre 2



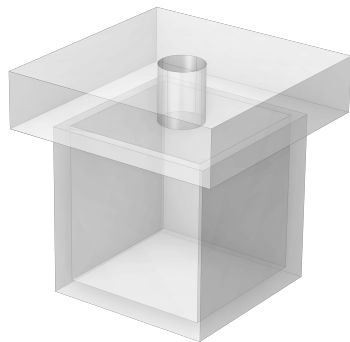
$$u_1(0, \mathbf{x}', t) = -\alpha \frac{\partial p_c}{\partial t}(\mathbf{x}', t), \quad \frac{\partial^2 p_c}{\partial t^2} + \omega_H^2 p_c = \omega_H^2 p(0, \mathbf{x}', t),$$

$$\alpha = \frac{V}{\rho c^2 h^2} \quad \omega_H = c \sqrt{\frac{A}{(d + d_{aj})V}}, \quad d_{aj} = 2\sqrt{AB},$$

$\mathcal{B}$  est un paramètre réel sans dimension,  
il ne dépend que de la forme de la section du col

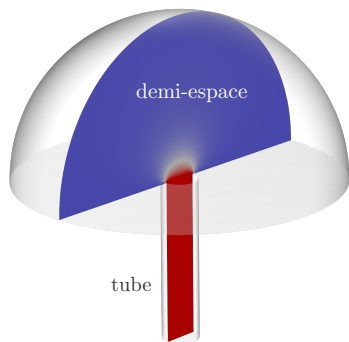
### 3. Problème effectif obtenu : à l'ordre 2

$$\mathcal{B} = ?$$

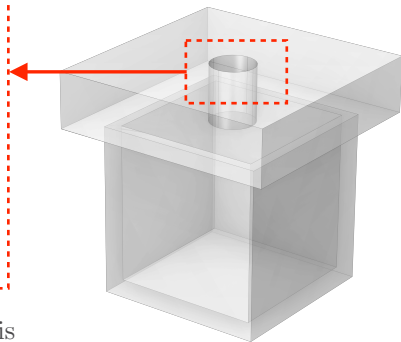


### 3. Problème effectif obtenu : à l'ordre 2

fluide parfait dans un tube débouchant sur un demi-espace



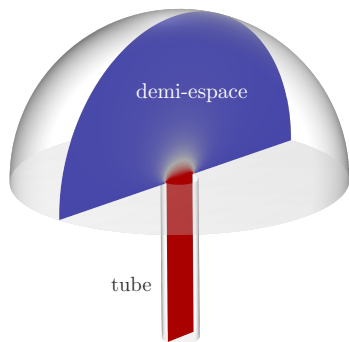
$$\mathcal{B} = ?$$



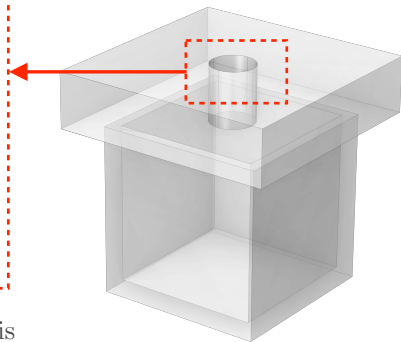
$$\begin{cases} \Delta_{\mathbf{z}} H = 0, & \nabla_{\mathbf{z}} H \cdot \mathbf{n} = 0 & \text{sur les parois} \\ H \underset{z_1 \rightarrow -\infty}{\sim} z_1 - \mathcal{B}, & H \underset{|\mathbf{z}| \rightarrow +\infty}{\sim} -\frac{1}{2\pi|\mathbf{z}|} \end{cases}$$

### 3. Problème effectif obtenu : à l'ordre 2

fluide parfait dans un tube débouchant sur un demi-espace  
 $\mathcal{B}$  est le coefficient de blocage

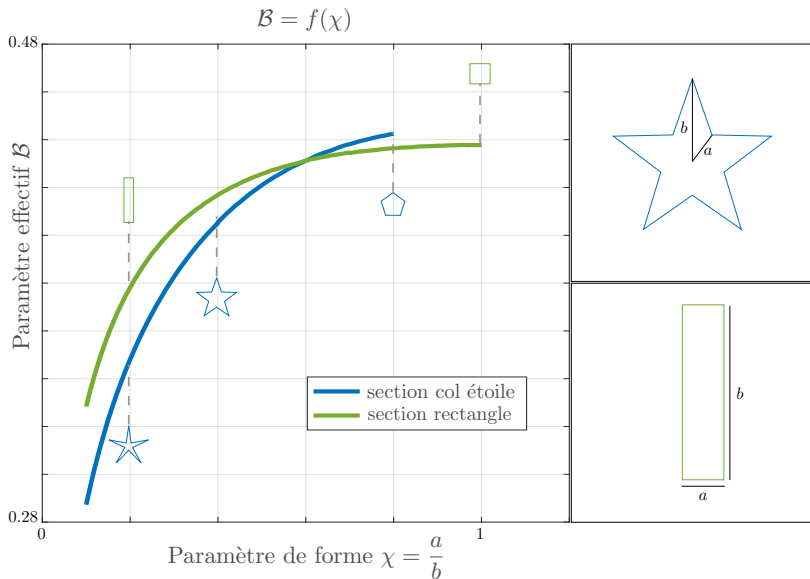


$$\mathcal{B} = ?$$



$$\begin{cases} \Delta_{\mathbf{z}} H = 0, & \nabla_{\mathbf{z}} H \cdot \mathbf{n} = 0 & \text{sur les parois} \\ H \underset{z_1 \rightarrow -\infty}{\sim} z_1 - \mathcal{B} H \underset{|\mathbf{z}| \rightarrow +\infty}{\sim} -\frac{1}{2\pi|\mathbf{z}|} \end{cases}$$

### 3. Problème effectif obtenu



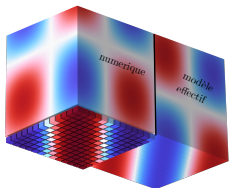
1. Problème étudié
2. Approche asymptotique
3. Problème effectif obtenu
- 4. Validation du modèle : régime harmonique**
5. Extension de la méta-surface à la méta-interface
6. Perspectives



#### 4. Validation du modèle : régime harmonique

champ de pression  $P$

$$u_1(0, \mathbf{x}', t) = 0$$

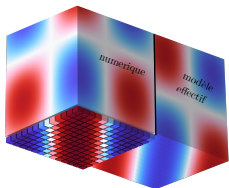


Ordre 0

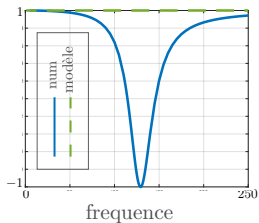
## 4. Validation du modèle : régime harmonique

champ de pression  $P$

$$u_1(0, \mathbf{x}', t) = 0$$



partie réelle de  $R$



Ordre 0

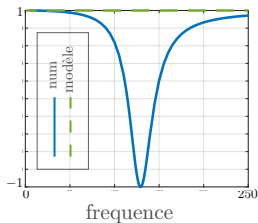
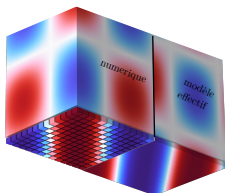
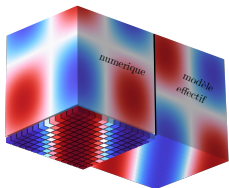
## 4. Validation du modèle : régime harmonique

champ de pression  $P$

partie réelle de  $R$

$$u_1(0, \mathbf{x}', t) = 0$$

$$\omega_1 \propto 1/\sqrt{d_1}$$



Ordre 0

Ordre 1

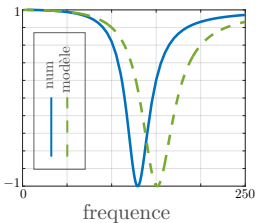
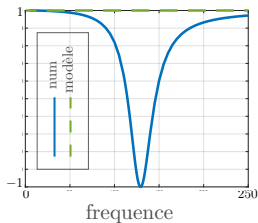
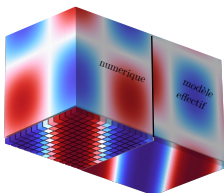
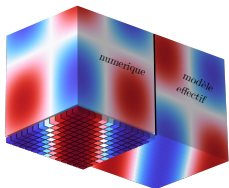
## 4. Validation du modèle : régime harmonique

champ de pression  $P$

partie réelle de  $R$

$$u_1(0, \mathbf{x}', t) = 0$$

$$\omega_1 \propto 1/\sqrt{d_1}$$



Ordre 0

Ordre 1

## 4. Validation du modèle : régime harmonique

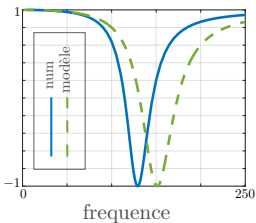
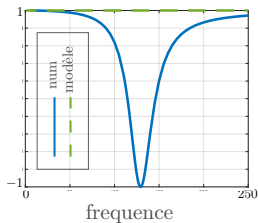
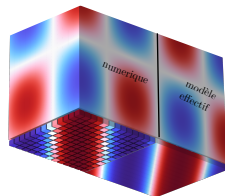
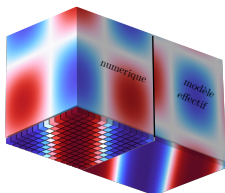
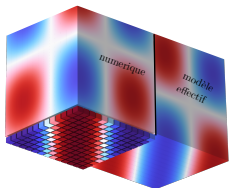
champ de pression  $P$

partie réelle de  $R$

$$u_1(0, \mathbf{x}', t) = 0$$

$$\omega_1 \propto 1/\sqrt{d_1}$$

$$\omega_1 \propto 1/\sqrt{d_2}$$



Ordre 0

Ordre 1

Ordre 2

## 4. Validation du modèle : régime harmonique

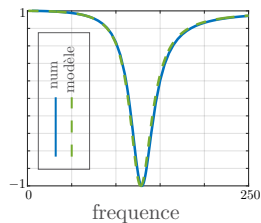
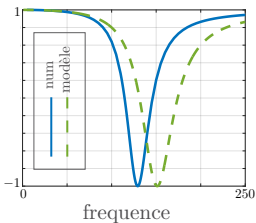
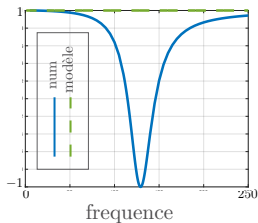
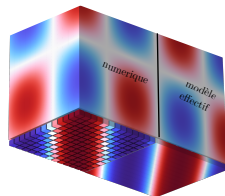
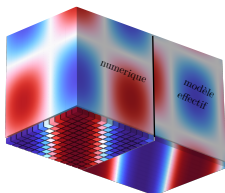
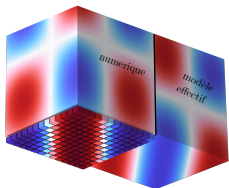
champ de pression  $P$

partie réelle de  $R$

$$u_1(0, \mathbf{x}', t) = 0$$

$$\omega_1 \propto 1/\sqrt{d_1}$$

$$\omega_1 \propto 1/\sqrt{d_2}$$



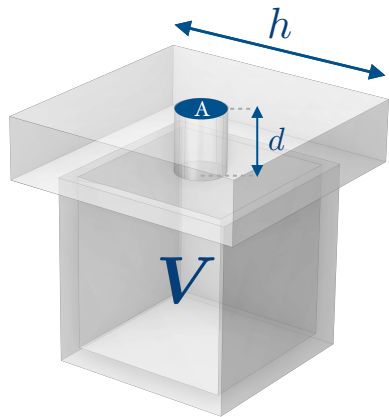
Ordre 0

Ordre 1

Ordre 2

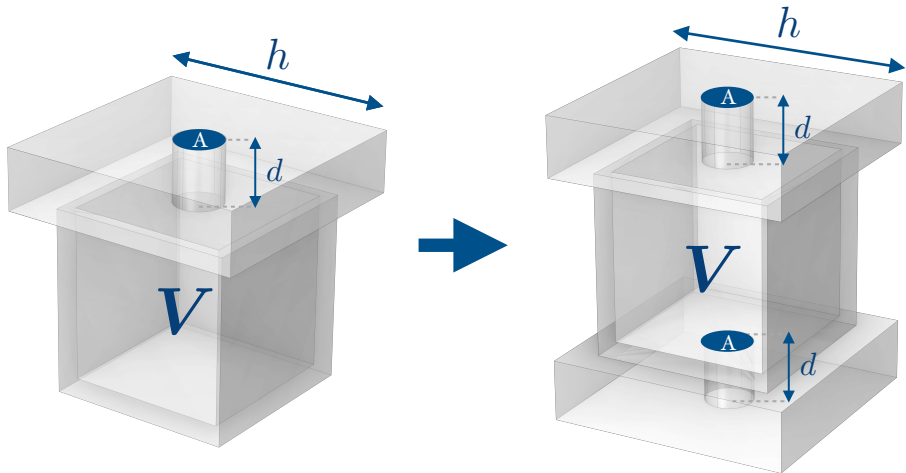
1. Problème étudié
2. Approche asymptotique
3. Problème effectif obtenu
4. Validation du modèle : régime harmonique
5. Extension de la méta-surface à la méta-interface
6. Perspectives

## 5. Extension de la méta-surface à la méta-interface

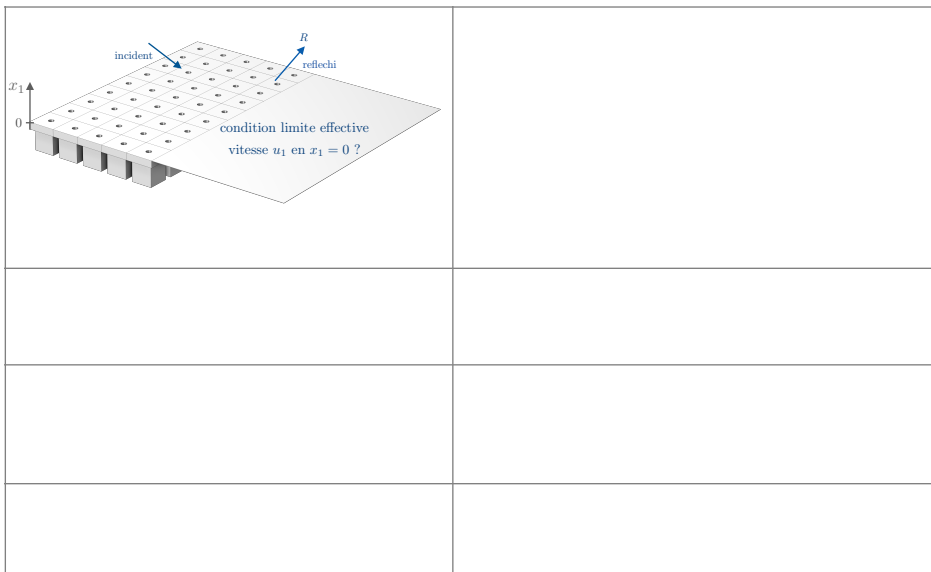




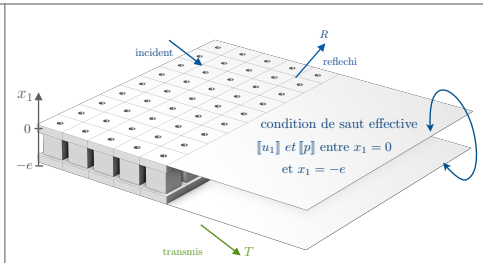
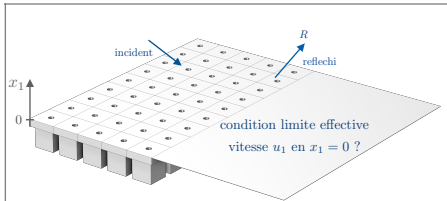
## 5. Extension de la méta-surface à la méta-interface



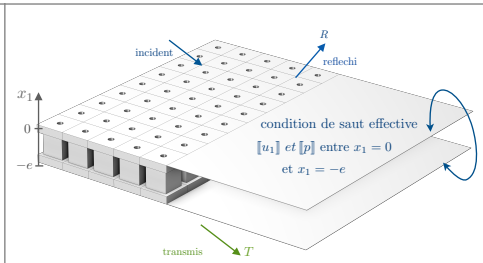
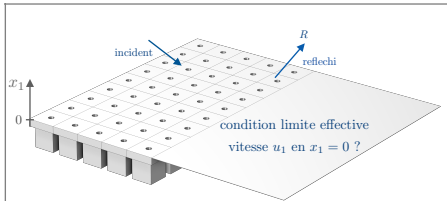
## 5. Extension de la méta-surface à la méta-interface : problème effectif



## 5. Extension de la méta-surface à la méta-interface : problème effectif

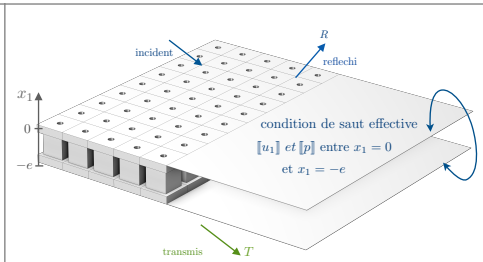
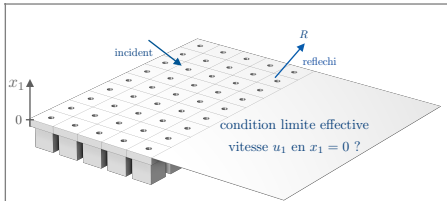


## 5. Extension de la méta-surface à la méta-interface : problème effectif



$$u_1(0, \mathbf{x}', t) = -\alpha \frac{\partial p_c}{\partial t}(\mathbf{x}', t),$$

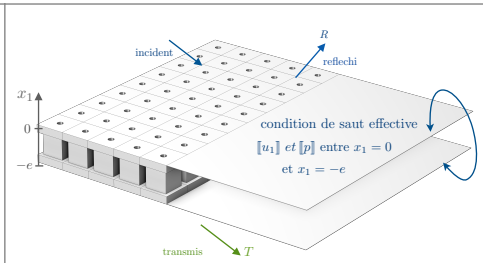
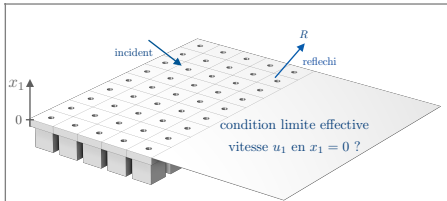
## 5. Extension de la méta-surface à la méta-interface : problème effectif



$$u_1(0, \mathbf{x}', t) = -\alpha \frac{\partial p_c}{\partial t}(\mathbf{x}', t),$$

$$\begin{aligned} \llbracket u_1 \rrbracket (0, \mathbf{x}', t) &= -\alpha \frac{\partial p_c}{\partial t}(\mathbf{x}', t), \\ \llbracket f \rrbracket (\mathbf{x}', t) &= f(0, \mathbf{x}', t) - f(-e, \mathbf{x}', t) \end{aligned}$$

## 5. Extension de la méta-surface à la méta-interface : problème effectif

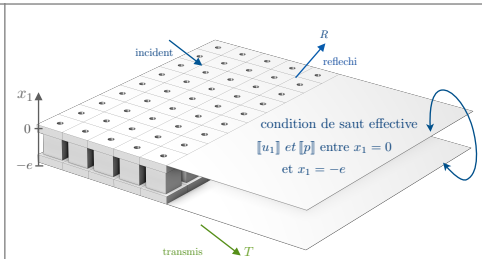
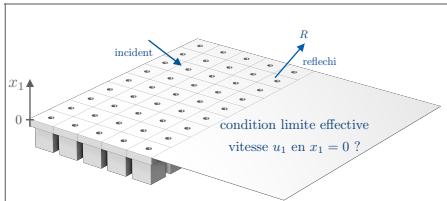


$$u_1(0, \mathbf{x}', t) = -\alpha \frac{\partial p_c}{\partial t}(\mathbf{x}', t),$$

$$\begin{aligned} \llbracket u_1 \rrbracket(0, \mathbf{x}', t) &= -\alpha \frac{\partial p_c}{\partial t}(\mathbf{x}', t), \\ \llbracket f \rrbracket(\mathbf{x}', t) &= f(0, \mathbf{x}', t) - f(-e, \mathbf{x}', t) \end{aligned}$$

$$\frac{\partial^2 p_c}{\partial t^2} + \omega_H^2 p_c = \omega_H^2 p(0, \mathbf{x}', t),$$

## 5. Extension de la méta-surface à la méta-interface : problème effectif



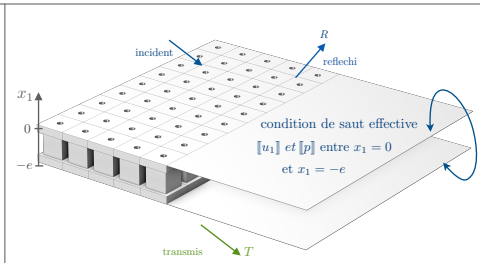
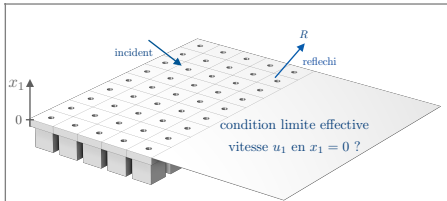
$$u_1(0, \mathbf{x}', t) = -\alpha \frac{\partial p_c}{\partial t}(\mathbf{x}', t),$$

$$\begin{aligned} \llbracket u_1 \rrbracket(0, \mathbf{x}', t) &= -\alpha \frac{\partial p_c}{\partial t}(\mathbf{x}', t), \\ \llbracket f \rrbracket(\mathbf{x}', t) &= f(0, \mathbf{x}', t) - f(-e, \mathbf{x}', t) \end{aligned}$$

$$\frac{\partial^2 p_c}{\partial t^2} + \omega_H^2 p_c = \omega_H^2 p(0, \mathbf{x}', t),$$

$$\begin{aligned} \frac{\partial^2 p_c}{\partial t^2}(\mathbf{x}', t) + \omega_H^2 p_c(\mathbf{x}', t) &= \omega_H^2 \bar{p}(\mathbf{x}', t), \\ \bar{f}(\mathbf{x}', t) &= \frac{1}{2}(f(0, \mathbf{x}', t) + f(-e, \mathbf{x}', t)) \end{aligned}$$

## 5. Extension de la méta-surface à la méta-interface : problème effectif



$$u_1(0, \mathbf{x}', t) = -\alpha \frac{\partial p_c}{\partial t}(\mathbf{x}', t),$$

$$\begin{aligned} \llbracket u_1 \rrbracket(0, \mathbf{x}', t) &= -\alpha \frac{\partial p_c}{\partial t}(\mathbf{x}', t), \\ \llbracket f \rrbracket(\mathbf{x}', t) &= f(0, \mathbf{x}', t) - f(-e, \mathbf{x}', t) \end{aligned}$$

$$\frac{\partial^2 p_c}{\partial t^2} + \omega_H^2 p_c = \omega_H^2 p(0, \mathbf{x}', t),$$

$$\begin{aligned} \frac{\partial^2 p_c}{\partial t^2}(\mathbf{x}', t) + \omega_H^2 p_c(\mathbf{x}', t) &= \omega_H^2 \bar{p}(\mathbf{x}', t), \\ \bar{f}(\mathbf{x}', t) &= \frac{1}{2}(f(0, \mathbf{x}', t) + f(-e, \mathbf{x}', t)) \end{aligned}$$

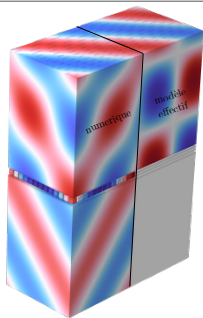
$$\llbracket p \rrbracket(\mathbf{x}', t) = -\rho \frac{(d + d_{aj})h^2}{A} \frac{\partial \bar{u}_1}{\partial t}(\mathbf{x}', t)$$



## 5. Extension de la méta-surface à la méta-interface : validation

Ordre 0

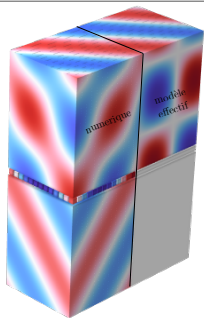
champ de pression  $P$



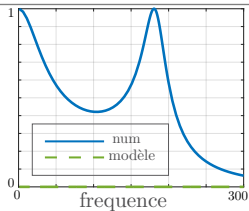
## 5. Extension de la méta-surface à la méta-interface : validation

Ordre 0

champ de pression  $P$



$|T|$

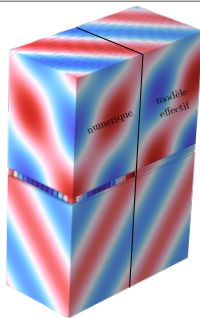
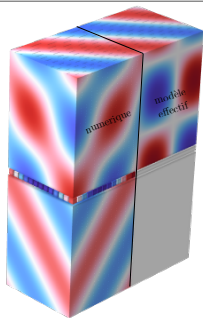


## 5. Extension de la méta-surface à la méta-interface : validation

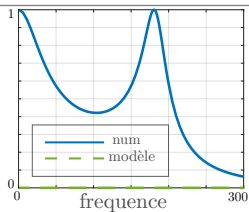
Ordre 0

Ordre 1

champ de pression  $P$



$|T|$

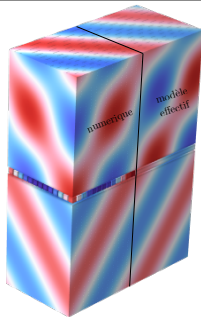
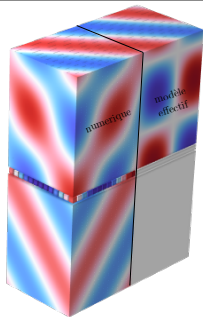


## 5. Extension de la méta-surface à la méta-interface : validation

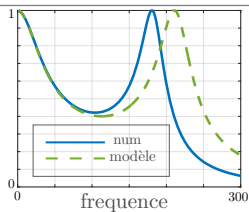
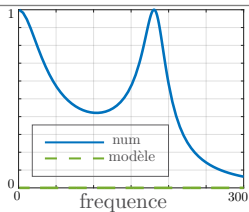
Ordre 0

Ordre 1

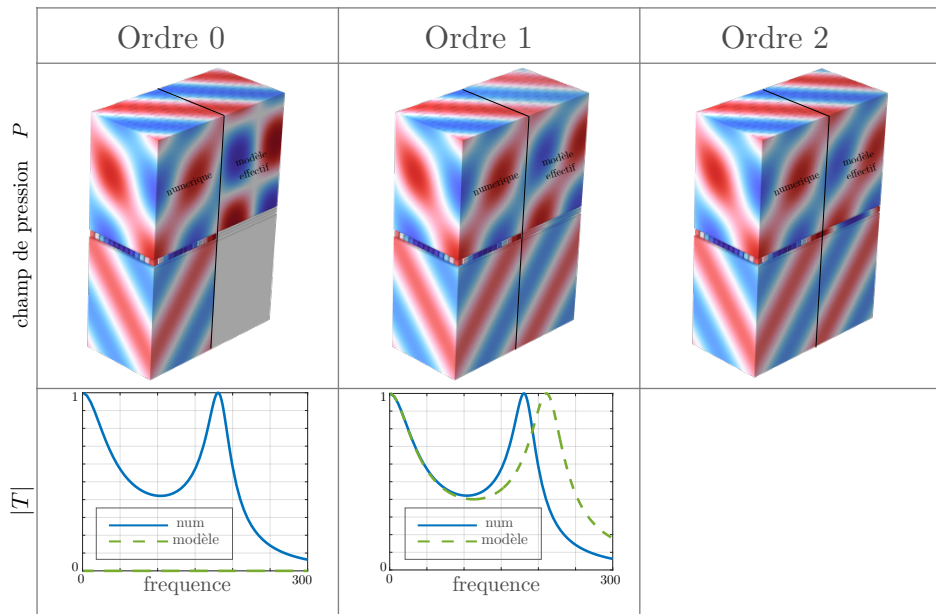
champ de pression  $P$



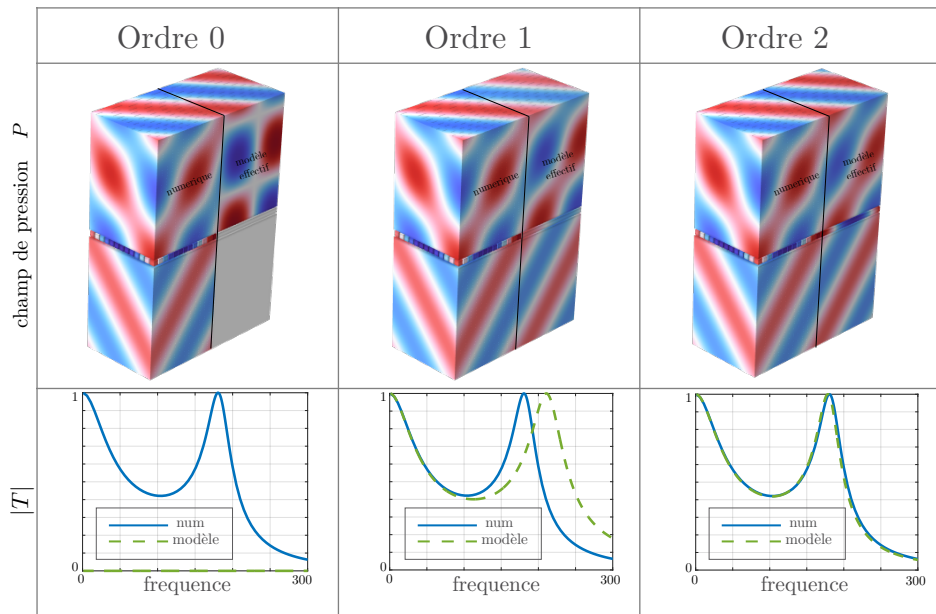
$|T|$



## 5. Extension de la méta-surface à la méta-interface : validation



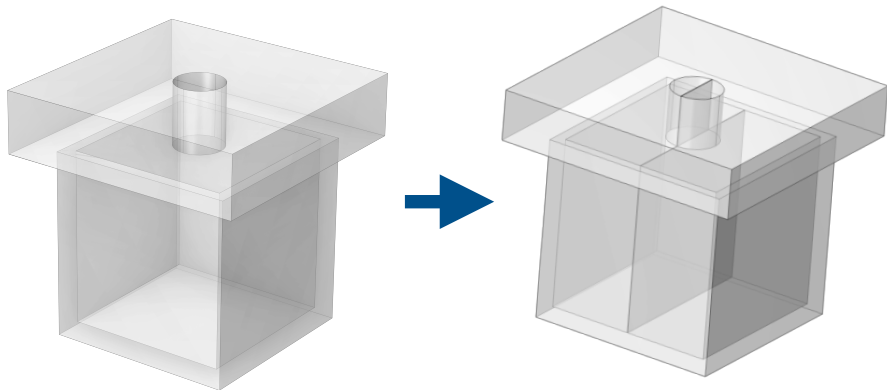
## 5. Extension de la méta-surface à la méta-interface : validation



1. Problème étudié
2. Approche asymptotique
3. Problème effectif obtenu
4. Validation du modèle : régime harmonique
5. Extension de la méta-surface à la méta-interface
6. **Perspectives**

## 6. Perspectives

- Etudier le cas du réseau de résonateurs de Helmholtz « fendus », pour créer des effets de dipôle;
- Possibilités d'obtenir une absorption parfaite ?





Merci pour votre attention !